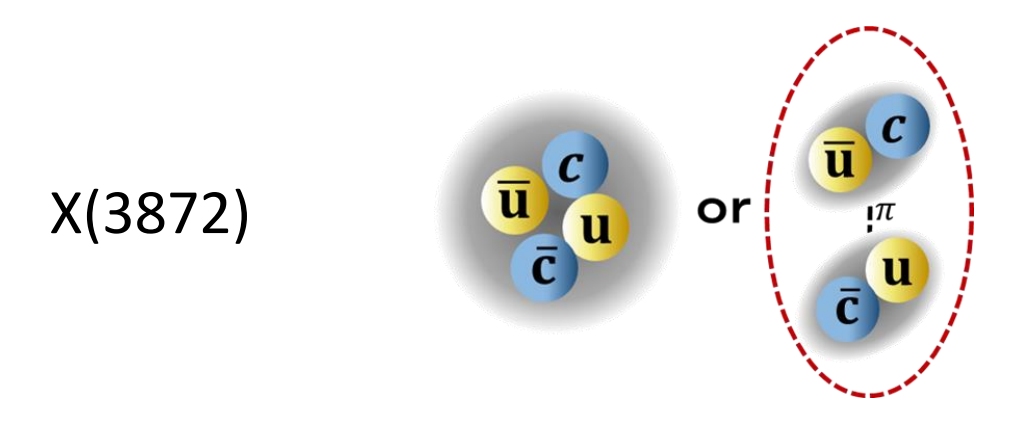


$B^0 \to K^{\pm} \pi^{\mp} \gamma \eta_C$ 崩壊過程における $\gamma \eta_C$ 質量スペクトラムの研究

奈良女子大学 修士二年 皆吉 遥

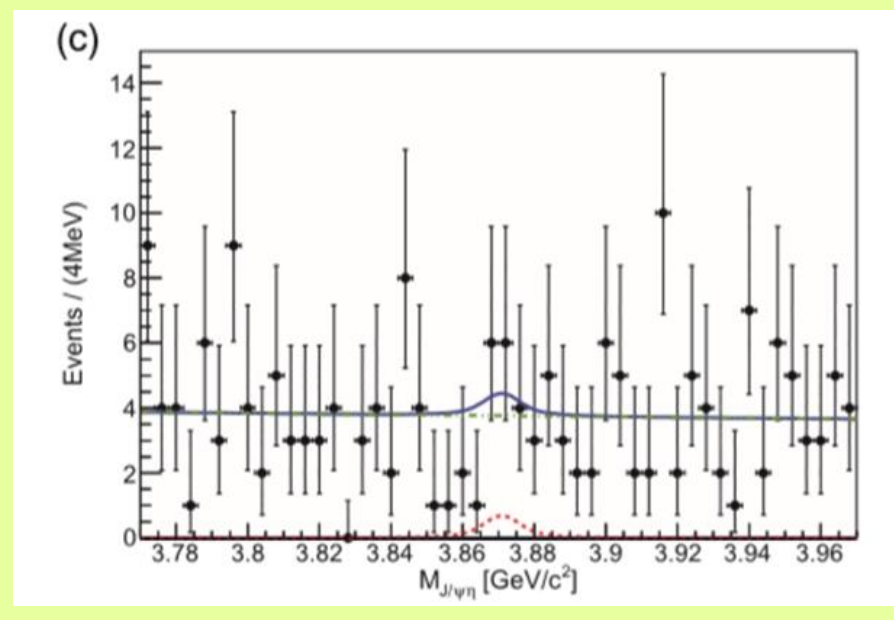
X(3872)について①

* 本研究の主題 * X(3872)のC-oddパートナーを探索する



- X(3872)はエキゾチックハドロンの一種
- J/ $\psi \pi^+\pi^-$ への崩壊で発見され、 $D^0\overline{D}^{0*}$ へ崩壊することが知られている
- 先行研究で J/ψη モードによるC-oddパートナー探索は否定的結果であったため、テトラクオークであるという可能性が低くなった (Belle; Prog. Theor. Exp. Phys. 2014, 043C01)→

先行研究より $B^{\pm} \rightarrow J/\psi \eta K$ 候補中の $J/\psi \eta$ 普遍質量分布 $(M_{(J/\psi \eta)})$



青の実線:Fit全体

赤い点線:シグナル成分

緑の点線:残り

X(3872)について②

- Br{X(3872) $\to D^0 \overline{D}^{0*}$ } $\cong 10 \times \text{Br}\{X(3872) \to J/\psi \pi^+\pi^-\}$
- $J^{PC} = 1++$
- $X(3872) \rightarrow J/\psi \gamma$, $\psi(2S) \gamma$ あり。
 - \downarrow
- 純粋なメソン分子ではなさそう
- 同じJPCのチャーモニウムとメソン分子の混合状態か。
- C-oddパートナー $J^{PC} = 1^{+-}$ が同様だと考える

$$J^{PC} = 1^{++}$$

$$|X(3872)\rangle = \frac{|D^0 \overline{D}^{*0}\rangle + |\overline{D}^0 D^{*0}\rangle}{\sqrt{2}} cos\theta + |X_{c1}(2P)\rangle sin\theta$$

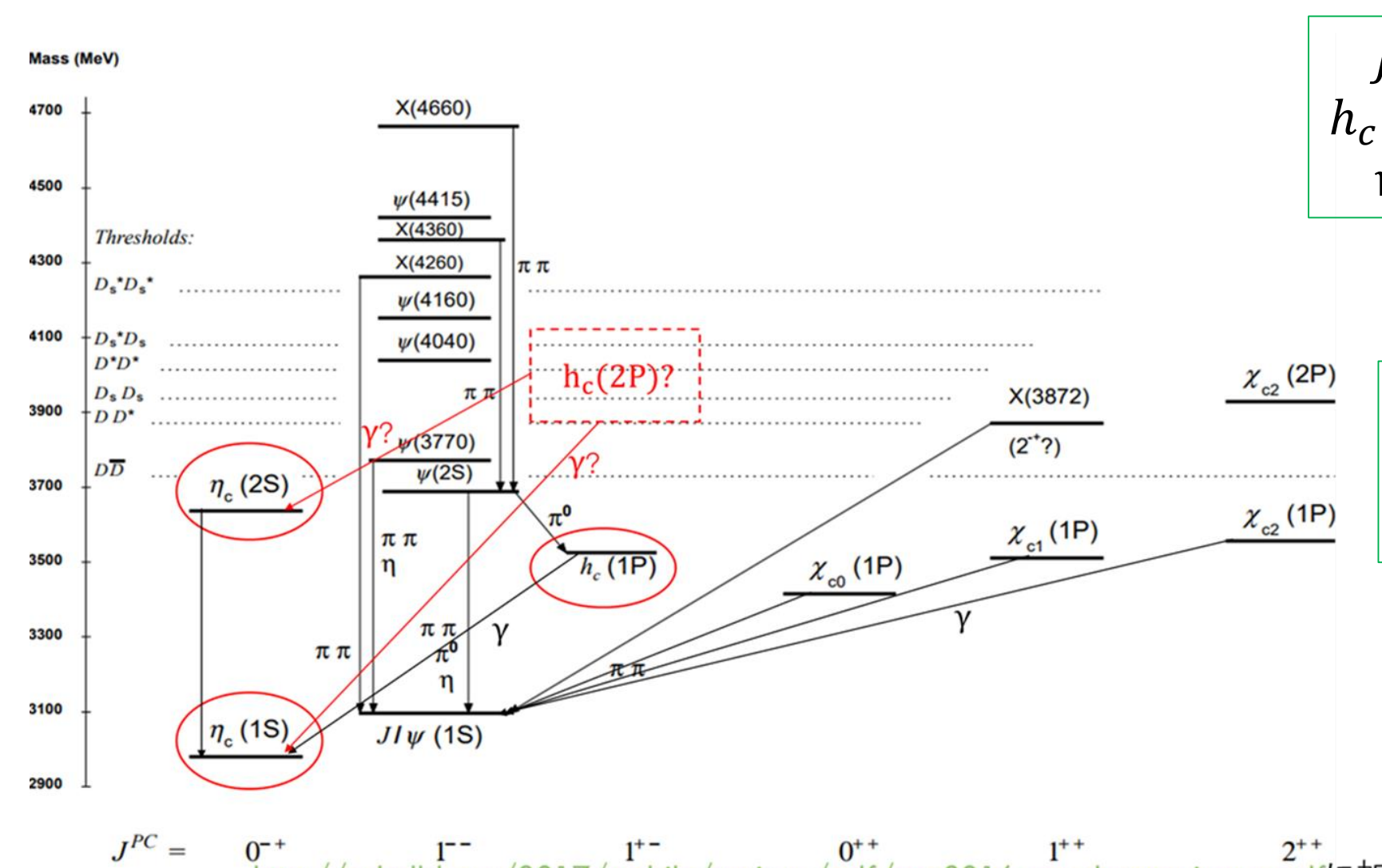
$$\begin{array}{c|c} \hline \mathbf{u} & \mathbf{c} \\ \hline \mathbf{v} & \mathbf{c} \\ \hline \mathbf{c} & \mathbf{c} \\ \hline \end{array}$$

 $\left| \frac{X(3872)}{[c-odd]} \right\rangle = \frac{|D^0 \overline{D}^{*0}\rangle - |\overline{D}^0 D^{*0}\rangle}{\sqrt{2}} cos\theta' + |h_c(2P)\rangle sin\theta'$

 \rightarrow X(3872)はメソン分子とチャーモニウム $(c\bar{c})$ の混合状態と考える

 $I^{PC} = 1^{+-}$

チャーモニウム $h_c(1P)$ 、 $h_c(2P)$



2018/11/1

 $J^{PC} = 1^{+-}$ のチャーモニウム $h_c(1P)$ は確認済みの粒子であり $\eta_c \gamma$ が主要なモード(約50%)

未確認の $h_c(2P)$ は未発見。メソン分子と混ざるとしたらこっちか

いずれにしろ $\eta_c \gamma$ は着目 すべき崩壊モードである

http://pdg.lbl.gov/2017/mobile/reviews/pdf/rpp2016-rev-charmonium-m.pdfに加筆

4

まず手をつけるべき崩壊モード

$$\begin{array}{c} B^0 - h_c K^+ \pi^- \\ \qquad \qquad \square \eta_c \gamma \\ \qquad \qquad \square K_s^0 K^{\pm} \pi^{\mp} \end{array}$$

- 二体崩壊 B → h_cKは抑制されている(QCD Factorization)
 (Belle; PRD 74, 012007 (2006))
- ・なので3体崩壊に着目する

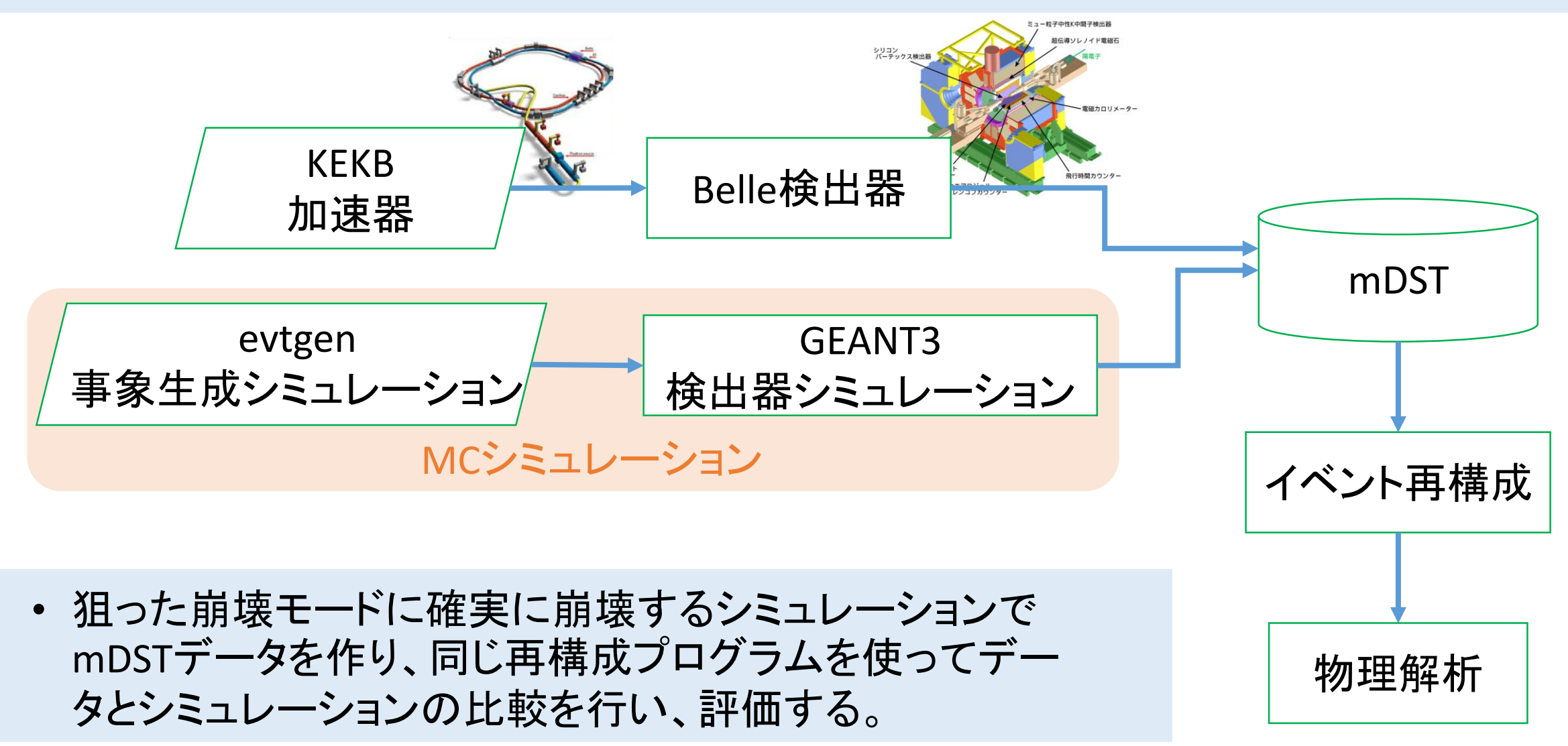
Belle実験

KEKB加速器が1999-2010の間稼働
 各検出器で粒子の飛跡、エネルギー、運動量などを測定する

検出 ・現在は収集を終えたデータを用い、解析を行っている 1.5[T]の磁場生成 ミュー粒子中性K中間子検出器 B中間子の 超伝導ソレノイド電磁石 崩壊点測定 シリコン バーテックス検出器 光子の検出と エネルギー測定 荷電粒子の 運動量測定 電磁カロリメーター 飛行時間差による K/π粒子識別 チェレンコフ光による 中央ドリフト K/π粒子識別 飛行時間カウンター シリカエアロジェル 2018/11/1 画像元https://www2.kek.jp/ja/tour/electron-51.htmlより加筆

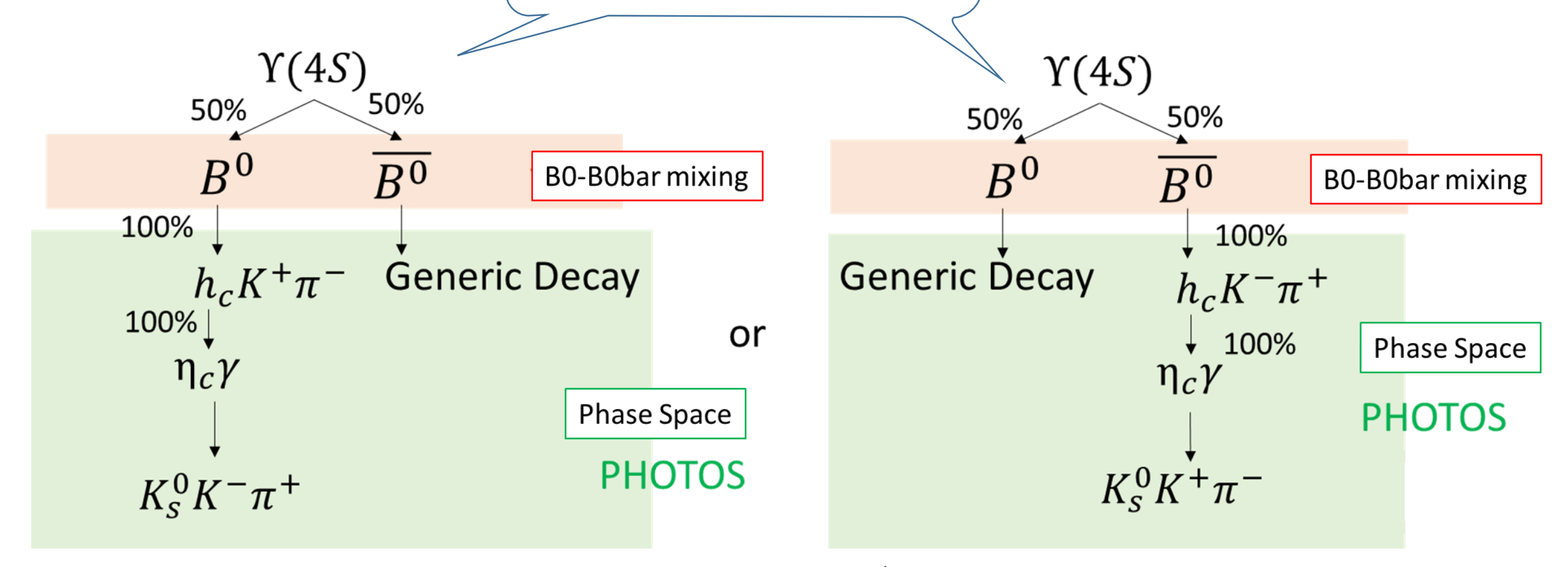
KOL粒子とμ粒子の

解析の流れ



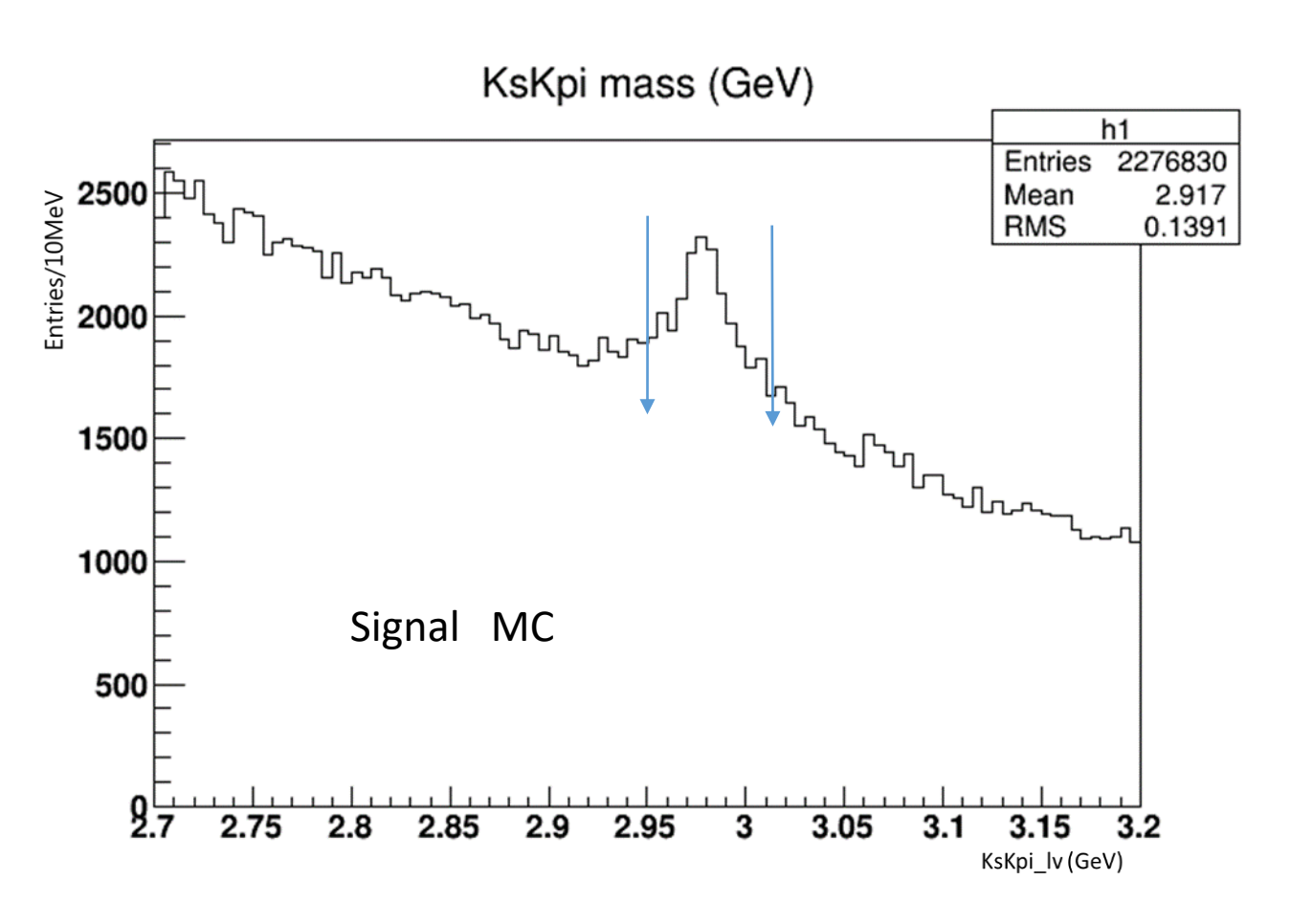
信号事象生成

以下の互いに荷電共役な事象を1対1で発生させる



粒子生成シミュレーションの流れ。Y(4S)から50%ずつB0とその反粒子に崩壊する。その後の崩壊が、 片方は確実に指定の崩壊モードに崩壊するように設定する。 しっけ方(GenericDecay)は一般的な崩壊を行う

η_c reconstraction & γ selection

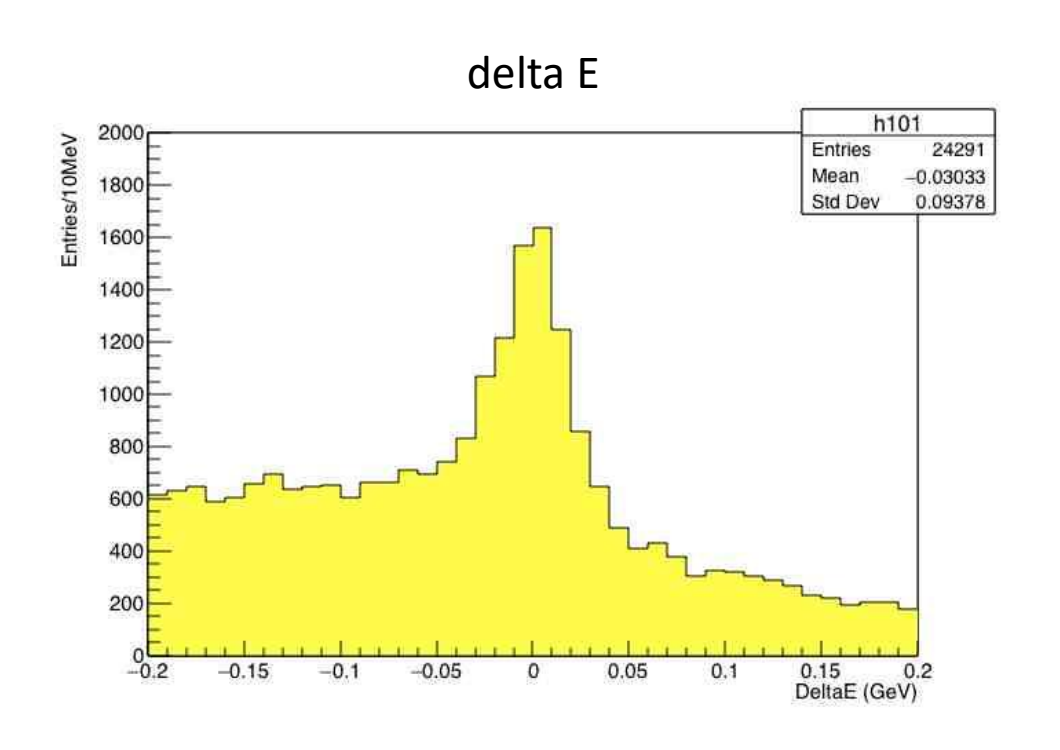


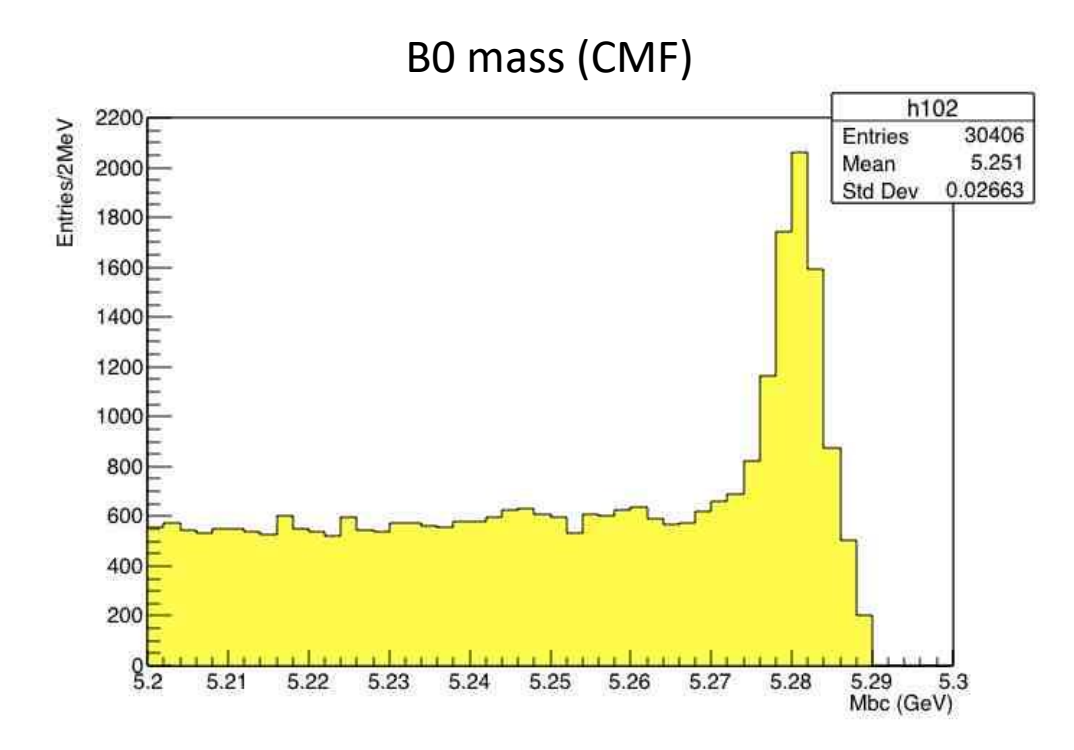
$$\eta_c \to K_s^0 K^+ \pi^- (and C.C.)$$

- ${}^{L_K}/_{(L_K+L_\pi)}>0.6$ のものを K , それ以外 は π とする
- $\left| M_{(\pi^+\pi^-)} M_{K_0^S} \right| < 0.02 \, [^{GeV}/_{c^2}]$ を $K_S^0 \to \pi^+\pi^-$ 候補とする
- Mass-vertex Fitを適用
- $\left| M_{(K_S^0 K^+ \pi^-)} M_{\eta_c} \right| < 0.04 \left[{^{GeV}/_{c^2}} \right]$ の 範囲のイベントを η_c の候補として選ぶ

•
$$\begin{cases} E_{\gamma} > 100[MeV](End - cap) \\ E_{\gamma} > 50[MeV](barrel) \end{cases}$$

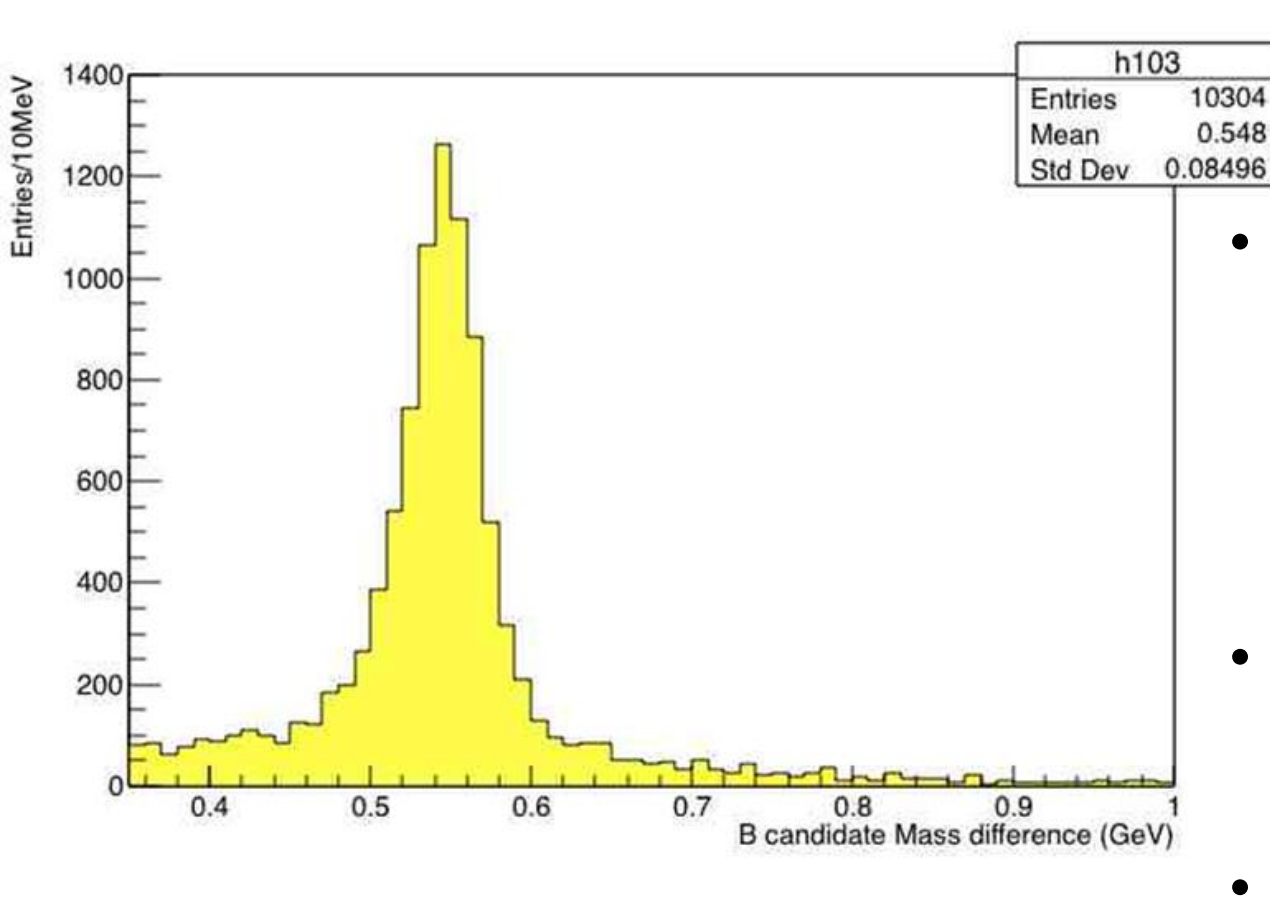
$B^0 \to \eta_c \gamma K^+ \pi^-$ (and C.C.)再構成





- $\Upsilon(4S)$ 静止系では、対でできる B^0 と \bar{B}^0 はエネルギーを等しく持って、back-to-back に進む。
- $M_{bc} = \sqrt{(E_{beam}^2 (\sum \vec{p}_{recon})^2)} \ge \Delta E = \sum E E_{beam}$ の分布でBメソン崩壊の信号を確認できる。

Mass difference 分布



• B0 再構成の結果から $_{ig(-0.05[\text{GeV}] < \Delta E < 0.05[\text{GeV}]}$ $_{ig(-5.27[\frac{\text{GeV}}{c^2}] < M_{bc}}$ でBメソン崩壊候補をえらび分布を見る

- シグナルMCでは h_c (1P)が生成されているので 0.55[GeV]付近にピークが見られる
- 質量3872[MeV]の共鳴状態が $\eta_c \gamma$ に崩壊する なら 3.872[GeV] 2.983[GeV] = 0.889[GeV] 付近にピークを形成する

まとめ 今後の展望

- $B^0 \to \eta_c \gamma K^+ \pi^-$ (and C.C.) は X(3872)のC-oddパートナーまたはBメソン崩壊中の h_c または h_c (2P)生成を探索する上で興味深い崩壊モードである
- $B^0 \to h_c K^+ \pi^-$, $h_c \to \eta_c \gamma$, $\eta_c \to K_s^0 K^+ \pi^-$ (and C.C.)の信号事象モンテカルロシミュレーションデータを生成し、再構成プログラムが動作していることを確認した

【今後】

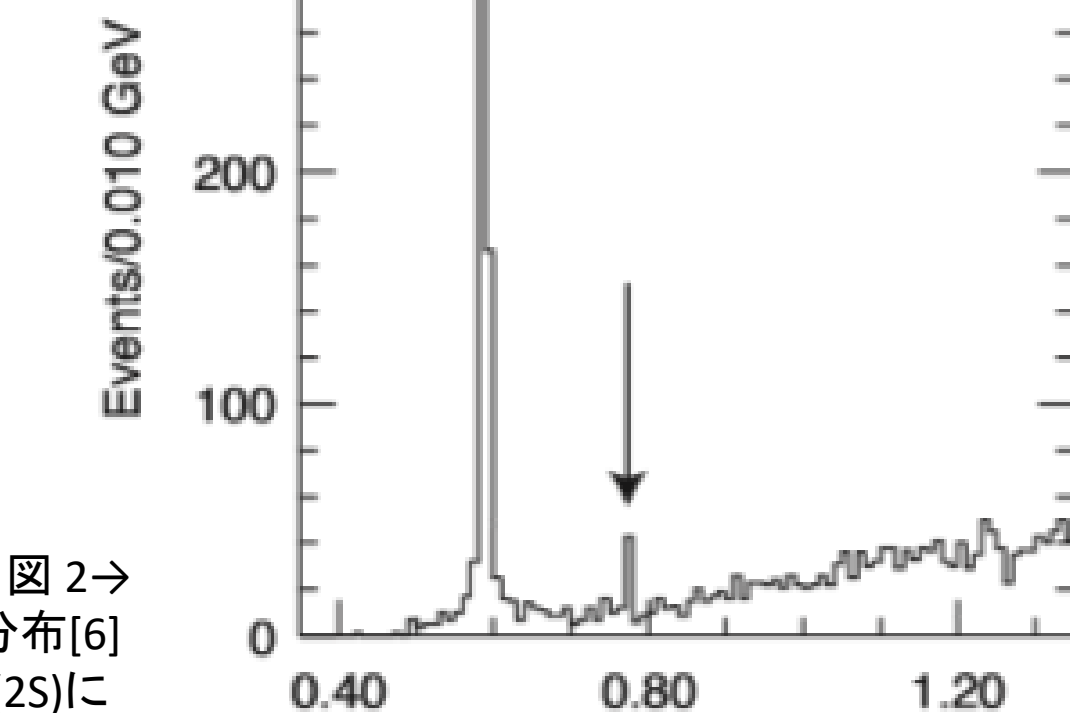
- 1イベント中に複数候補が出現した場合、best candidateを選ぶ手順をこれから 考える
- ・バックグラウンドの見積もりと抑制策の検討、信号を抽出するフィットのツール作成が今後の課題である

ありがとうございました

補足スライド

X(3872)の発見

 2003年にBelle実験が B → J/ψπ+π-K 過程を再構成してJ/ψπ+π- の不変質 量分布を調べると, 右図に示すように 質量3872 MeV/c2 の幅が狭い共鳴状態があることが見出され, X(3872)と 名づけられた。



 $M(\pi^{\dagger}\pi^{i}l^{\dagger}l^{i}) - M(l^{\dagger}l^{i})$ (GeV)

300

B± \rightarrow J/ ψ π+π-K± 過程における J/ ψ π+π- と J/ ψ の質量差分布[6] を示す。0.59 GeVのピークは既知 のチャーモニウムである ψ (2S)によるもので,X(3872) に対応するピークを矢印で示す。

X(3872)について

- Br{X(3872)→D⁰D̄^{0*}} は Br{X(3872)→J/ψπ⁺π⁻} の約10倍
 →チャーモニウムであるより、c,uを含むエキゾチックハドロンである可能性が高い
- 先行研究より *JPC* = 1++ とわかっている
- X(3872) → J/ψγ, ψ(2S) γ あり。
- 純粋なメソン分子と考えると束縛エネルギーがかなり小さく、X(3872)の体積が鉛原子核とほぼ同じ体積を持ってしまい、娘粒子のJ/ψの1000倍の大きさを持つことになってしまうため、純粋なメソン分子ではなさそう
- ・ 以上より、X(3872)をメソン分子と同じ $J^{PC}=1^{++}$ のチャーモニウム $\chi_{c1}(2P)$ の混合状態と考えると、C-oddパートナー $J^{PC}=1^{+-}$ についても同様の考察ができる

$$J^{PC} = 1^{++}$$

$$|X(3872)\rangle = \frac{|D^0 \overline{D}^{*0}\rangle + |\overline{D}^0 D^{*0}\rangle}{\sqrt{2}} cos\theta + |X_{c1}(2P)\rangle sin\theta$$

$$\begin{split} J^{PC} &= 1^{+-} \\ \left| \begin{matrix} X(3872) \\ [c-odd] \end{matrix} \right\rangle &= \frac{\left| D^0 \overline{D}^{*0} \right\rangle - \left| \overline{D}^0 D^{*0} \right\rangle}{\sqrt{2}} cos\theta' + \left| h_c(2P) \right\rangle sin\theta' \end{split}$$

 \rightarrow X(3872)はメソン分子とチャーモニウム $(c\bar{c})$ の混合状態と考える

mixing

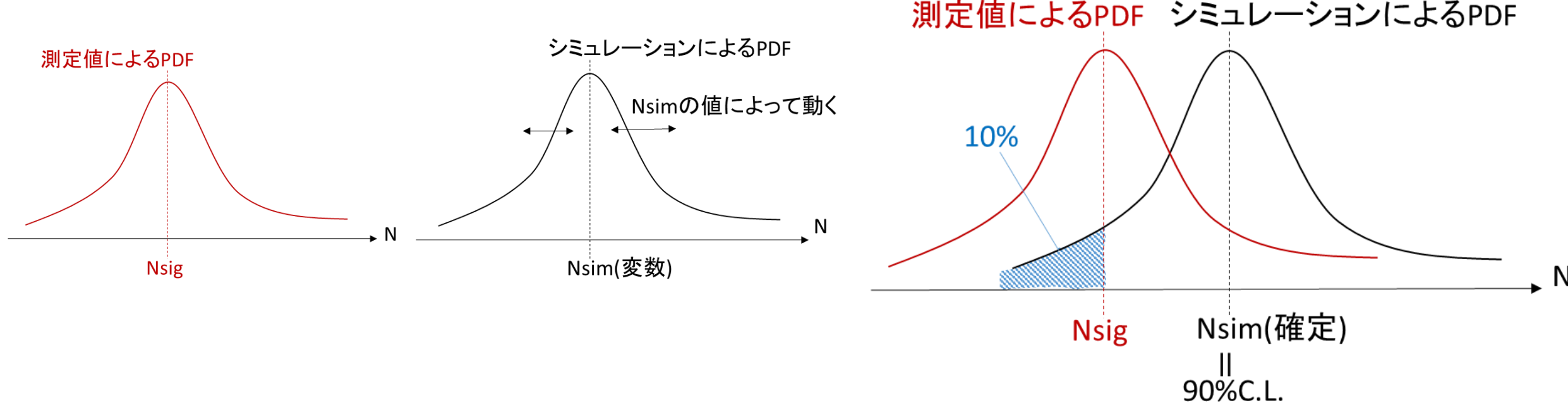
QCD factorization

- ・重い粒子からの二体崩壊では、娘粒子が大きい運動量を持って即座に遠くへ離れて行くので、娘粒子同士は終状態相互作用を起こしにくい
- 遷移振幅が二本のカレントの積の形でかけることをfactorizationという。
- factorizationが成り立つ際に物理量 J^{PC} によって生成されやすい粒子とされにくい粒子がある
- 生成され易い J^{PC} は 0^{-+} 、 1^{--} 、 1^{++} ($c\bar{c}$ でいうと η_c , J/ψ , χ_{c1})
- 生成されにくいJPCは 0^{++} 、 1^{+-} 、 2^{++} ($c\bar{c}$ でいうと χ_{c0} , h_c , χ_{c2})

• つまりhcは二体崩壊では生成しづらい粒子である

「U.L. = Upper Level」「90%C.L. = 90%Confidence Level」

• 測定したイベント数Nsigが、全体のイベント数の10%のところになるように仮定してシミュレーションを行った結果が 90%C.L.



• Nsimを使って計算した崩壊分岐比は上限(U.L.)になる

Mass constrained Fit

[Fit]

1粒子につき(x,y,z,px,py,pz,E) の7パラメーター

Fitはχ²が最小となるパラメータの期待値を求めるために行う

$$\chi_1^2 = \frac{(x_1 - x_1^E)^2}{\sigma_{x_1}^2} + \dots + \frac{(p_{z_1} - p_{z_1}^E)^2}{\sigma_{pz_1}^2} + \frac{(E_1 - E_1^E)^2}{\sigma_{E_1}^2}$$

$$\chi^2 = \chi_1^2 + \chi_2^2 + \dots + \chi_n^2$$

この式に対して質量(m² = E² - p²)を固定することでestimated parameter を計算する方法をMass constrained Fit という

[条件]
$$m_x^2 = (E_1^E + E_2^E)^2 - \{(p_{x_1}^E + E_2^E)^2 + (p_{y_1}^E + p_{y_2}^E)^2 + (p_{z_1}^E + p_{z_2}^E)^2\}$$

ここの質量の値がPDGの値によって固定される